

значення  $K(f) = K_0$  можна зафіксувати курсором 2, порівнявши при цьому значення  $K_0$  і  $f_0$ .

Звернути увагу, що коефіцієнт  $K_0$  від'ємний, як це витікає з фазочастотної характеристики.

Після проведення експерименту студентам пропонується провести теоретичні розрахунки, користуючись даними попередньої лабораторної роботи та зробити письмовий звіт.

**Висновки.** Вивчення спеціалізованого прикладного програмного забезпечення є одним із аспектів фахової підготовки майбутніх вчителів фізики до викладацької та науково-дослідницької роботи. Впровадження в навчальний процес вказаних у статті спецкурсів сприяє активізації пізнавальної діяльності студентів, формуванню їх інформаційно-комунікаційної компетентності.

## БІБЛІОГРАФІЯ

1. Компетентнісний підхід у сучасній освіті: світовий досвід та українські перспективи: Бібліотека з освітньої політики / Під заг. ред. О.В. Овчарук. – К.: „К.І.С.”, 2004. – 112 с.

2. Мартинюк О.С. Моделювання та дослідження радіоелектронних схем програмним комплексом NI Multisim у навчальному експерименті з фізики / О.С.Мартинюк. – Педагогічний пошук. – № 5. – 2010. – С.83-85.

3. Мартинюк О.С. Засоби графічного програмування у формуванні інформаційної компетентності майбутніх учителів фізики / О.С.Мартинюк. – Збірник наукових праць Бердянського державного педагогічного університету (Педагогічні науки).– №3. – Бердянськ: БДПУ, – 2009. – С. 177-181.

## ВІДОМОСТІ ПРО АВТОРА

**Мартинюк Олександр Семенович** - кандидат педагогічних наук, доцент кафедри загальної фізики та методики викладання фізики, докторант Волинського національного університету імені Лесі Українки.

*Наукові інтереси:* інформаційні технології, мікроелектроніка, проектування та виготовлення нового обладнання для навчального фізичного експерименту.

## ВИКОРИСТАННЯ ЕНТРОПІЙНИХ ДІАГРАМ ПРИ ВІВЧЕННІ ТЕРМОДИНАМІКИ

**Іван МОРОЗ**

*Розглядаються можливості використання ентропійних діаграм при вивченні курсу термодинаміки.*

*Rozglyadutsya mozhlivosti vikoristannya entropiynih diagram at vivchenni rate termodinamiki.*

У ході історичного розвитку термодинаміки було розроблено два методи дослідження: **метод циклів і метод термодинамічних потенціалів** (інша назва - метод характеристичних функцій).

Метод кругових процесів, введений ще Карно, зіграв дуже велику роль у розвитку термодинаміки. Причому, якщо на початковому періоді розвитку цього методу використовувалася

система незалежних змінних ( $p, V$ ), то в подальшому, після введення поняття «ентропія», вчені, що спеціалізувались в галузі термодинамічних досліджень, стали все частіше використовувати систему змінних ( $T, S$ ).

У 1902 р. американським фізиком Гіббсом був розроблений метод термодинамічних потенціалів, який має значні переваги над методом циклів, і тому став основним у дослідженнях термодинамічних систем. Однак, використання термодинамічних діаграм, як у координатах ( $p, V$ ), так і в координатах ( $T, S$ ) сприяє успішному проведенню термодинамічного аналізу і є дуже корисним при вивченні

термодинаміки у вищих навчальних закладах. У зв'язку з цим у статті пропонується методика аналізу деяких питань, які доповнюють основний зміст термодинаміки, що традиційно розглядається у курсі теоретичної фізики, що вивчається у ВНЗ.

**Виклад основного матеріалу.** Розглянемо спочатку, так звані, ентропійні діаграми, тобто графіки термодинамічних процесів у системі координат: температура-ентропія ( $T,S$ ), які будемо розглядати як незалежні параметри стану системи. У координатах ( $T,S$ ), де температура  $T$  виступає як функція будь-якого виду (див. рис. 1), а ентропія  $S$  – як аргумент, величина  $(TdS)$  визначає площину під ділянкою  $dS$  кривої, а вся площа під кривою  $T=f(S)$  буде дорівнювати  $\int_{S_1}^{S_2} TdS$ . Але за другим законом термодинаміки  $TdS=dQ$  і відповідно  $Q=\int_{S_1}^{S_2} TdS$ . Таким чином, робимо

висновок, що в координатах ( $T,S$ ) площа під кривою процесу чисельно дорівнює кількості теплоти, одержаної (або відданої) системою, подібно тому як у координатах ( $p,V$ ) ця площа дорівнює роботі. Найпростіше виглядає формула для кількості теплоти в ізотермічному процесі

$$Q=\int_{S_1}^{S_2} TdS=T(S_2-S_1). \quad (1)$$

При цьому кількість теплоти буде додатна (її одержує система), якщо ентропія зростає і, отже, процес спрямований на діаграмі у бік зростання ентропії, незалежно від зміни температури. Так, у зображеному на рис. 1 процесі *ACMB* кількість теплоти додатна не лише на відрізку *CMB*, де температура зростає, а й на відрізку *AC*, де температура зменшується.

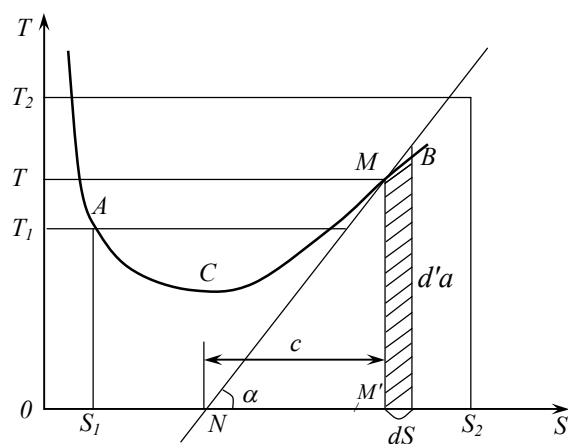


Рис. 1. Графік довільного процесу (ACMB) на  $T,S$ -діаграмі

Із рис. 1 також видно, що проекція відрізка *MN* дотичного до кривої процесу в деякій точці (*M*) на вісь ентропії дає значення теплоємності системи в стані, який зображується цією точкою. Дійсно, із трикутника *NMM'* маємо:

$$NM' = \frac{MM'}{\operatorname{tg}\alpha} = \frac{T}{\frac{dT}{dS}} = T \frac{dS}{dT} = \frac{dQ}{dT} = c.$$

Ці проекції мають додатний знак, отже і теплоємності додатні, для всіх станів системи, які лежать праворуч мінімуму кривої  $T=f(S)$ , і від'ємні, для станів, що лежать ліворуч мінімуму. Для кривої  $T=f(S)$ , що має максимум, всі знаки протилежні зазначенім, тобто ( $T,S$ )-діаграма дуже наочно демонструє також теплоємність системи.

Розглянемо тепер циклічні процеси на ( $T,S$ )-діаграмі. При здійсненні прямого довільного циклічного процесу *1-a-2-b-1* (рис. 2), площа під верхньою частиною (*1-a-2*) кривої циклу, чисельно дорівнює одержаній теплоті  $Q_1$ , а під нижньою кривою (*2-b-1*) – відданій теплоті  $Q_2$ . Відповідно, їхня різниця чисельно дорівнює площині, обмеженій циклом, аналогічно тому як у координатах ( $p,V$ ), площа, обмежена циклом, чисельно дорівнює роботі за цикл.

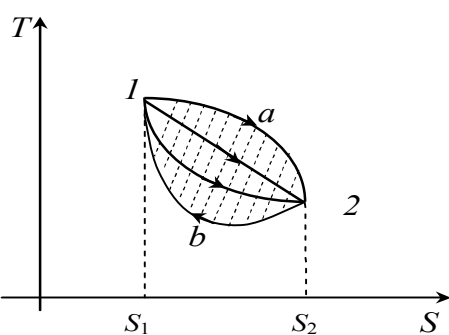


Рис. 2. До пояснення фізичного змісту площи під кривою довільного процесу на  $T,S$ -діаграмі

Таким чином,  $(TS)$ -діаграма наглядно показує залежність кількості теплоти від шляху переходу системи подібно до того, як  $(p,V)$ -діаграма демонструє аналогічну залежність для роботи. Більш того, оскільки після завершення циклу робоче тіло повертається у початковий стан, тобто його внутрішня енергія не зміниться, то за першим законом термодинаміки різниця теплот  $(Q_1 - Q_2)$  буде дорівнювати роботі за цикл. Таким чином, площа, обмежена графіком циклічного процесу в координатах  $(TS)$ , як і в координатах  $(pV)$ , чисельно дорівнює роботі за цикл і сумарна кількість теплоти (яка при цьому дорівнює роботі) є додатна, якщо цикл відбувається у напрямі руху годинникової стрілки і навпаки.

Розглянемо довільний стан досліджуваної системи, який характеризується на  $(T,S)$ -діаграмі деякою точкою А (рис. 3). Зрозуміло, що прямі, які проходять через цю точку перпендикулярно осям  $T$  і  $S$  відповідно є графіками ізотермічного і адіабатичного процесу. Такі прямі на  $(pV)$ -діаграмі зображали б ізобаричний та ізохоричний процеси. Оскільки дотичною до прямої у всіх її точках є сама пряма, то із  $(T,S)$ -діаграмами ясно, що для адіабатичного процесу

теплоємність дорівнює „0”, а для ізотермічного  $(\pm\infty)$ .

Якщо через вибрану довільну точку А на  $(T,S)$ -діаграмі провести дві лінії (1 і 2), які зображають деякі процеси, як показано на рис. 3, а також - ізотерму та ізоентропу (адіабату), то останні розділять  $(T,S)$ -діаграму на чотири квадранти ( $I-IV$ ), у яких теплоємність має наведені на рис. 3 значення. Кожній зміні стану системи від точки А вздовж довільної кривої, розташованої в I або III квадрантах, відповідає додатна теплоємність, тобто при одержанні системою тепла її температура підвищується. Кривим же, розташованим у II та IV квадрантах, відповідають від'ємні теплоємності - при одержанні тепла температура системи, за рахунок виконання нею механічної роботи, знижується.

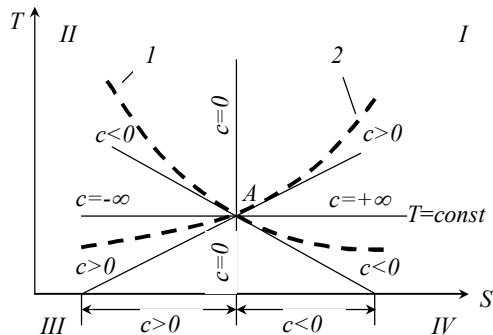


Рис. 3. Діаграма теплоємностей при ізопроцесах на  $T,S$ -діаграмі

Підкреслимо, що така струнка графічна схема теплоємностей у різних процесах має місце тільки на  $(T,S)$ -діаграмі. У випадку  $(pV)$ -діаграмиграничні (горизонтальне і вертикальне) положення, як ми бачили, займають ізобаричний і ізохоричний процеси з проміжними значеннями теплоємностей  $c_p$  і  $c_V$ , в той час як ізотерма і адіабата, для яких теплоємність набирає граничних значень 0 і  $(\pm\infty)$ , розташовуються між ними.

Для практичного розрахунку за допомогою  $(T,S)$ -діаграми кількості теплоти, якою обмінюються система з

навколошніми тілами, необхідно виразити ентропію через параметри її стану, що можливо тільки для систем, для яких відомі рівняння стану. У подальшому ми обмежимось розглядом найпростішого випадку - ідеального газу.

Подивимось тепер, як зображуються на  $(T,S)$ -діаграмі ізохоричний та ізобаричний процеси з ідеальним газом.

Для аналізу ізохоричного процесу скористаємося першим законами термодинаміки і другим законами для оборотних процесів, де необхідно прийняти до уваги умову:  $V = \text{const}$ . Тоді, враховуючи очевидні вирази  $dQ = dE$  і  $dE = v c_V dT$ , маємо:

$$dS = \frac{dQ}{T} = \frac{v c_V dT}{T}, \quad (2)$$

що відразу дає зміну ентропії при зміні станів, які належать одній ізохорі:

$$\Delta S = v c_V \ln \frac{T_2}{T_1}. \quad (3)$$

Цей вираз, очевидно, рівнянням ізохори в системі координат  $(T,S)$ .

Якщо ж скористатись невизначенним інтегралом від (2), то одержимо рівняння ізохори в системі  $(T,S)$  у вигляді:

$$S = v c_V \ln T + S_0. \quad (4)$$

Використовуючи це рівняння, легко одержати вираз для температури як функції ентропії в ізохоричному процесі:

$$T = e^{\frac{S-S_0}{v c_V}}. \quad (5)$$

Якщо формально розглядати цей вираз, як залежність температури від ентропії, то він показує, що на  $(T,S)$ -діаграмі ізохора зображується кривою, яка піднімається зліва направо і обернена своєю опуклістю до осі абсцис (рис. 4). Це пояснюється тим, що, оскільки в ізохоричному процесі робота дорівнює нулю, то все одержане

системою тепло йде на підвищення її внутрішньої енергії, внаслідок чого температура системи й ентропія також зростають. Отже, теплоємність при сталому об'ємі кожної системи  $i$ , зокрема, ідеального газу завжди є додатною величиною ( $c_V > 0$ ). Тому й похідна  $\left(\frac{\partial E}{\partial T}\right)_V$ , через яку визначається

теплоємність при постійному об'ємі, для всіх речовин теж додатна.

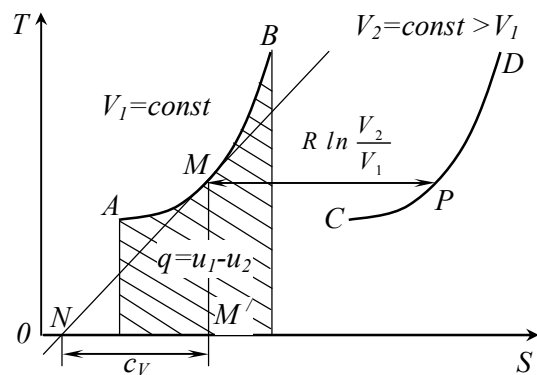


Рис. 4. Графіки ізохоричних процесів на  $T,S$ -діаграмі

Із рівняння ізохоричного процесу (5) видно, що криві  $S=S(T)$  являються подібними, лише зміщеними вздовж осі абсцис, оскільки константа  $S_0$  повинна залежати від значення фіксованого об'єму. Відстань між двома ізохорами по горизонталі (для одного моля газу) визначається зміною ентропії  $\Delta S$  (горизонтальний напрям на  $(T,S)$ -діаграмі відповідає ізотермі). Цю зміну для одного моля ідеального газу можна легко визначити:  $\Delta S = R \ln \frac{V_2}{V_1}$ . Звідси

видно, що більшому об'єму відповідає більше значення ентропії, тобто чим більший об'єм газу, тим далі лежить його ізохора від осі ординат.

Цілком аналогічні висновки можна зробити й відносно рівняння ізобари на  $(T,S)$ -діаграмі.

Дійсно, якщо у виразі (2) вважати  $p=const$ , то він прийме вигляд

$$dS = \frac{dQ}{T} = \frac{v c_p dT}{T}.$$

Звідки одержимо рівняння ізобарі на ентропійній діаграмі:

$$S = v c_p \ln T + S_0. \quad (6)$$

Як і у випадку ізохоричного процесу можна записати вираз

$$T = e^{\frac{S-S_0}{v c_p}}, \quad (7)$$

який формально можна трактувати, як залежність температури від ентропії в ізобаричному процесі (рис. 5). Зрозуміло, що подібність виразів (5) і (7) обумовлює подібність і їх графіків (рис. 4 і 5). Однак, оскільки  $c_p > c_v$ , то графік функції  $T=f(S)$  для ізобаричного процесу буде більш пологий, ніж для ізохоричного. Графіки ізобаричних процесів теж будуть мати одинаковий вид для різних значень  $p=const$  і будуть зміщені у напрямі осі абсцис на

відстань  $R \ln \frac{p_2}{p_1}$  (для  $V=1$ ).

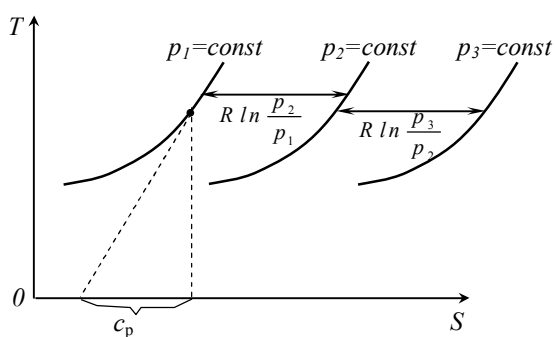


Рис. 5. Графіки ізобаричних процесів на  $T,S$ -діаграмі

Формули (5) і (7) дозволяють виконати практичну побудову за точками графіків ізохоричного та ізобаричного процесів. На рис. 6 для порівняння зображені всі ізопроцеси на  $(p,V)$  та  $(T,S)$ -діаграмах. Слід також зазначити, що, оскільки при ізохоричному процесі у простих системах робота не виконується, то кількість наданої системі теплоти, яка чисельно дорівнює площі під кривою

процесу, одночасно дорівнює також зміні внутрішньої енергії. У випадку ізобаричного процесу ця площа також виражає не лише кількість теплоти, але й зміну ентальпії. Тому проекція на вісь абсцис дотичної до кривої  $T=f(S)$  в ізобаричному процесі, як і в ізохоричному процесі визначає теплоємність, але уже при постійному тиску (див. рис. 6).

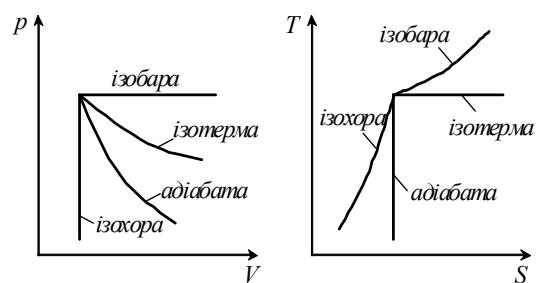


Рис. 6. Графіки ізопроцесів на  $p,V$  та  $T,S$ -діаграмі

Із виразів (5) і (7) випливає важливий висновок -  $c_p$  і  $c_v$  завжди додатні величини. Дійсно, вони (див. рис. 4-5) визначаються тангенсом кута нахилу кривих  $T=f(S)$ , а ці криві монотонно піднімаються вгору на  $(T,S)$ -діаграмі, тому тангенс кута їх нахилу завжди додатний.

Розглянемо тепер на  $(T,S)$ -діаграмі оборотний цикл Карно. Як відомо, цикл Карно складається із двох адіабатних і двох ізотермічних процесів.

Протягом першого ізотермічного процесу прямого оборотного циклу Карно робоче тіло при нескінченно малому розширенні отримує від нагрівача при температурі  $T_1$  деяку кількість теплоти  $Q_1$ , завдяки чому його ентропія зміниться на величину

$$\Delta S_{12} = \frac{Q_1}{T_1}. \quad \text{Таким чином, перша}$$

стадія кругового процесу Карно зображується на діаграмі (рис. 7) прямою, паралельною осі  $S$ . Початку процесу відповідає точка 1, кінцю – точка 2. Після цього робочу речовину

теплоізоляємо від зовнішнього середовища і, зменшуючи тиск, дамо їй можливість квазістатично адіабатично розширитись (перейти із стану 2 в стан 3). Розширення відбудеться за рахунок власної внутрішньої енергії робочого тіла, завдяки чому вона перейде до навколошнього середовища у вигляді роботи.

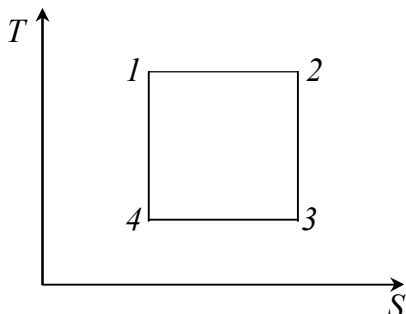


Рис. 7. Цикл Карно в (T,S) координатах

Даний адіабатичний процес розширення без зміни ентропії веде до охолодження робочої речовини. Дамо їй можливість охолодитися до температури холодильника  $T_2$ . Графік цього процесу зображений прямою (2-3). Потім, привівши циліндр з робочим тілом у тепловий контакт із холодильником, шляхом підвищення зовнішнього тиску почнемо квазістатично стискувати робоче тіло. Теплота, що з'являється при цьому, переходитиме в холодильник, і температура робочої речовини протягом всього процесу буде дорівнювати температурі  $T_2$  холодильника. На діаграмі розглянутий процес відповідає переходу із стану 3 в стан 4. Загальна кількість теплоти, переданої холодильнику робочою речовиною, дорівнює  $Q_2$ , а зменшення ентропії робочого тіла дорівнює  $\Delta S_{34} = \frac{-Q_2}{T_2}$ . Рівна за величиною,

але обернена за знаком, буде зміна ентропії холодильника. Третя стадія циклу закінчується у точці 4, коли

ентропія робочого тіла приймає своє початкове значення. Далі ми знову ізоляємо робочу речовину термічно і, збільшуючи тиск, стискаємо її адіабатично до первинного об'єму, завдяки чому робоче тіло нагрівається до початкової температури  $T_1$  (графічно процес є прямою між точками 4 і 1). Цикл закінчений: робоче тіло повернулося у початковий стан, його температура, ентропія, тиск і об'єм мають початкові значення. Тому повна зміна ентропії робочої речовини за цикл повинна бути рівною нулю:

$$\Delta S = \Delta S_{12} + \Delta S_{23} + \Delta S_{34} + \Delta S_{41} = 0. \quad (\text{I})$$

Для обох адіабатичних частин циклічного процесу  $\Delta S_{41} = 0$  і  $\Delta S_{23} = 0$ , отже

$$\Delta S_{12} + \Delta S_{34} = \frac{Q_1}{T_1} + \left( -\frac{Q_2}{T_2} \right) = 0, \text{ або}$$

$$\frac{Q_1}{T_1} = \frac{Q_2}{T_2}.$$

Корисна робота, виконана робочим тілом за цикл, буде чисельно дорівнювати площі, яка охоплюється графіком циклічного процесу, тобто

$$A = T_1(S_2 - S_1) + T_2(S_1 - S_2). \quad (\text{II})$$

Кількість теплоти, підведеної за цикл, це теплота, яка надається під час першого ізотермічного процесу. Вона становить

$$Q_1 = T_1(S_2 - S_1).$$

Тому ККД циклу Карно дорівнює:

$$\eta = \frac{A}{Q_1} = \frac{T_1(S_2 - S_1) + T_2(S_1 - S_2)}{T_1(S_2 - S_1)} = \frac{T_1 - T_2}{T_1}.$$

Використовуючи метод циклів в координатах (T,S), легко довести, що із всіх оборотних циклів, здійснюваних між нагрівачем з температурою  $T_1$  і холодильником з температурою  $T_2$  цикл Карно є найбільш економічним.

Для доведення зобразимо цикл Карно і довільний оборотний цикл, здійснюваний в тому ж температурному інтервалі (рис. 8). Порівнямо вирази

ККД для циклу Карно і вибраного довільного циклу (*abcda*).

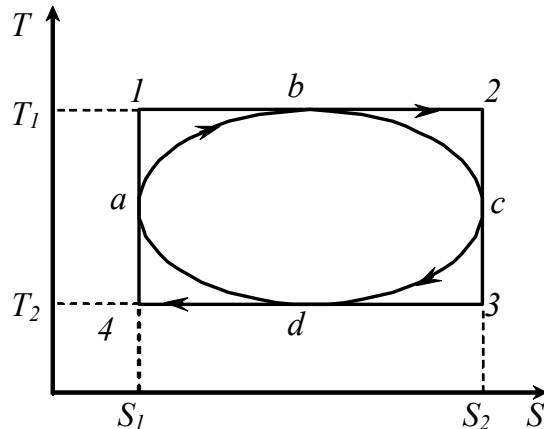


Рис. 8. Довільний цикл (*abcda*) і цикл Карно (12341) у одинаковому температурному інтервалі

Для циклу Карно:

$$\eta_{\kappa} = \frac{T_1 - T_2}{T_1} = 1 - \frac{T_2}{T_1}.$$

У випадку довільного циклу для розрахунку ККД потрібно роботу, виконану за цикл (вона чисельно дорівнює площі  $\sigma$  фігури, яка обмежується циклом, тобто  $A=\sigma_{abcda}$ ), поділити на кількість теплоти, підведені до робочого тіла за цикл, яка чисельно дорівнює площі фігури ( $S_1abcS_2S_1$ ), тобто  $Q = \sigma_{S_1abcS_2S_1}$ . Отже для ККД довільного циклу маємо:

$$\eta = \frac{\sigma_{abcda}}{\sigma_{S_1abcS_2S_1}}.$$

Площу фігури (*abcda*), яка обмежена довільним циклом знайдемо як різницю площ криволінійних трапецій ( $S_1abcS_2S_1$ ), і ( $S_1adcS_2S_1$ ):

$$\sigma_{abcda} = \sigma_{S_1abcS_2S_1} - \sigma_{S_1adcS_2S_1}.$$

Площу криволінійних трапецій визначимо за відомою із математики теоремою про середнє:

$$\sigma_{S_1abcS_2S_1} = \tilde{T}_{abc}(S_2 - S_1);$$

$$\sigma_{S_1adcS_2S_1} = \tilde{T}_{cda}(S_2 - S_1),$$

де  $\tilde{T}_{abc}$  і  $\tilde{T}_{cda}$  - середнє значення температури на відповідних процесах. Тому ККД довільного циклу буде дорівнювати:

$$\eta = 1 - \frac{\tilde{T}_{cda}}{\tilde{T}_{abc}}.$$

Знайдемо різницю ККД циклів:

$$\eta_k - \eta = \frac{\tilde{T}_{cda}}{\tilde{T}_{abc}} - \frac{T_2}{T_1}. \quad (\text{III})$$

Оскільки всі точки (крім однієї) кривої (*abc*) лежать нижче ізотерми з температурою  $T_1$ , а всі точки (крім однієї) кривої (*cda*) лежать вище ізотерми  $T_2$ , то ясно, що

$$\tilde{T}_{abc} < T_1;$$

$$\tilde{T}_{cda} > T_2.$$

Тому із (III) витікає, що  $\eta_k > \eta$ , тобто цикл Карно являється найбільш економічним (у заданому інтервалі температур).

Таким чином, використання ентропійних діаграм при вивчені термодинаміки може суттєво доповнити традиційний зміст цієї дисципліни і рекомендується для використання в практиці викладання.

## БІБЛІОГРАФІЯ

1. Булавін Л.А., Гаврюшенко Д.А., Сисоєв В.М. Молекулярна фізика: Підручник. - К.: Знання, 2006.-567с.- (Класична та сучасна фізика).
2. М.В. Коновалов Курс теоретичної фізики. Термодинаміка. Київ «Радянська школа», 1962. 296 с.
3. Мороз І.О. Основи термодинаміки: Навчальний посібник для студентів ВНЗ України. – Суми: СумДПУ імені А.С.Макаренка, 2009.-180с.
4. Мороз І.О. Методи термодинаміки: Навчальний посібник для студентів ВНЗ України. – Суми: СумДПУ імені А.С.Макаренка, 2009.-192с.

## ВІДОМОСТІ ПРО АВТОРА

Мороз Іван Олексійович - кандидат технічних наук, професор кафедри

експериментальної і теоретичної фізики Сумського державного педагогічного університету імені А.С.Макаренка.

*Наукові інтереси:* методика вивчення теоретичної фізики.

## ОРГАНІЗАЦІЯ ВИВЧЕННЯ ФІЗИКИ В АВІАЦІЙНОМУ ВУЗІ ЗА ДОПОМОГОЮ ЗАСОБІВ ІКТ

**Сава ОСТАПЧУК, Степан ВЕЛИЧКО**

У статті розглянуто окремі напрямки вдосконалення методики навчання фізики, пов'язані з упровадженням засобів інформаційно-комунікаційних технологій.

*The article discusses specific areas to improve methods of teaching physics associated with the introduction of information and communication technologies.*

Підвищення ефективності навчально-виховного процесу у вищому навчальному закладі є системно утворюючим базисом будь-якої дисципліни. У порівнянні з іншими дисциплінами фізика в авіаційному ВНЗ не є винятком, а скоріше навпаки, її навчально-методична база постійно оновлюється і потребує більш глибокого і саме системного вивчення для правильного і виваженого та цілеспрямованого застосування одержаних знань, умінь і навичок. Набуті теоретико-практичні знання про навколоїшній одночасно також постійно оновлюються постійно оновлюються і уточнюються, збільшуючи науковий потенціал майбутнього фахівця з вищою освітою. Для технічного фахівця, яким є авіаційний спеціаліст, фізика, поряд з математикою є наріжним каменем, що сприяє опануванню системою всіх технічних прикладних і професійних знань. Авіація та космонавтика як окремі напрямки науково-технічного прогресу та відповідні сучасні досить насичені і наукоємні галузі практичної діяльності людини завжди знаходилися на вістрі розвитку науки взагалі, і зокрема фізики також, завжди були і залишаються авангардом всієї світовою науки, уособлюючи в собі все передове

і технічно розвинене. Тому досконалому вивчення фізики як навчальної дисципліни у закладах, де готують відповідних фахівців, повинно бути приділена значна увага. Одному із сучасних і ефективних напрямів удосконалення методики навчання фізики у поєднанні з використанням засобів ІКТ і присвячена дана стаття.

На сучасному етапі розвитку фізичної освіти у середній та вищій школі основою підвищення ефективності навчального процесу з фізики є широке використання інформаційно-комунікаційних технологій (ІКТ). Варто зазначити, що будь-яка педагогічна технологія - це інформаційна технологія, оскільки основу технологічного процесу навчання складає отримання і перетворення інформації. Комп'ютерні (нові інформаційні) технології навчання - це процес підготовки і передачі інформації для тих, кого навчають, засобом здійснення яких є комп'ютер. Через це комп'ютер доцільно розглядати як сучасний технічний засіб навчання, який допомагає викладачеві вирішувати нагальні проблеми і завдання активізації пізнавальної діяльності і розвитку творчого потенціалу студентів.

Персональний комп'ютер – стає надійним помічником викладача будь-якої дисципліни, зокрема і фізики. Про можливості застосування комп'ютера в навчально-виховному процесі з фізики описано багато різних аспектів. Отже, зупинимося на найбільш актуальних і